

境界の影響を受ける水平噴流の特性

山口大学 斎藤 隆

1. まえがき

噴流にあらわす境界面の影響は一般 Coanda 效果と呼ばれてゐる。Coanda 效果に関する研究の多くは Dodd の提案した流れの model を用ひ、Curved jet の特性を規定する Spread parameter σ を floating parameter とみなして理論的解析を行なつてゐる。著者の行なつた実験においては、Spread parameter σ は自由噴流のそれより若干小さいがほど一定値である結果が得られたので、本文はこの実験結果を用ひ、Dodd の Model で 2~3 の仮定を修正を行なつて理論解析を行なつた結果と実験結果を報告するものである。

2. 理論的考察

a. 剥離領域 Curved jet の流速分布を二次元自由噴流のそれと類似なものとするとき、流速分布は近似的に次式で与えられる。

$$\frac{U}{U_{max}} = \operatorname{sech}^2\left(\sigma_0 \frac{y}{S_0}\right) \quad (1)$$

ここで、 U_{max} は噴流中心奥の流速、 S は流過距離、 S_0 は噴流の仮想原点と噴流出口の距離である ($S_0 = \sigma_0/3$)。Reattaching Stream-line と噴流中心線間の流量は一定であるとすると、噴流中心から Reattaching Stream-line の位置 B_R は

$$\frac{B_R}{2B_0} = \frac{1}{\sigma_0} \frac{S+S_0}{2B_0} \tanh^{-1} \left\{ \sqrt{\frac{\sigma_0}{3}} \left(\frac{S+S_0}{2B_0} \right)^{\frac{1}{2}} \right\} \quad (2)$$

と与えられる。噴流の境界面へ衝突する直前の流速を U_s 、衝突後の流下方向および剥離領域方向の流速を U_1 、 U_2 とし、その流速分布は図-2 に示すよう $\text{K}(1)$ 式と類似るものであるとすると流れの連続の条件より

$$\frac{U_{1max}}{U_{2max}} = \frac{\sigma_1}{\sigma_0} \frac{S+S_0}{S_1} \left(1 + \tanh \sigma_0 \frac{B_R}{S+S_0} \right), \quad \frac{U_{2max}}{U_{1max}} = \frac{\sigma_2}{\sigma_0} \frac{S+S_0}{S_2} \left(1 - \tanh \sigma_0 \frac{B_R}{S+S_0} \right) \quad (3)$$

なる関係が求められる。衝突直附近における圧力分布を無視すると衝突直後における運動量の関係より噴流流れの境界面への衝突角及 θ_R は次式のようになる。

$$\cos \theta_R = \frac{1}{2} \frac{\sigma_1}{\sigma_0} \frac{S+S_0}{S_1} \left\{ \left(1 + \tanh \sigma_0 \frac{B_R}{S+S_0} \right)^2 - \frac{\sigma_2}{\sigma_0} \frac{S_1}{S_2} \left(1 - \tanh \sigma_0 \frac{B_R}{S+S_0} \right)^2 \right\} \quad (4)$$

噴流中心位置は半径 r の円弧上にあるものとすると幾何学的関係より次の関係が存在する。

$$\frac{D}{2B_0} = \frac{180}{\pi \theta} \frac{S}{2B_0} \left(1 - \cos \theta_R \right) + \frac{B_R}{2B_0} \cos \theta_R \quad (5)$$

$$\frac{x_R}{D} = \left(\frac{r}{2B_0} - \frac{B_R}{2B_0} \right) \sin \theta_R \frac{1}{D/2B_0} \quad (6)$$

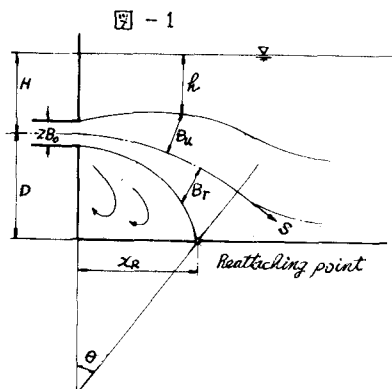
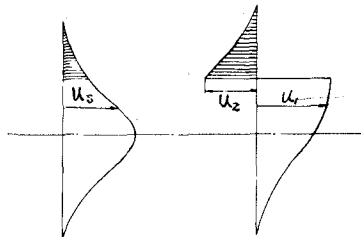


図-2 衝突後の流速分布



(4) 式中の $\frac{\alpha(S+S_0)}{G_0 S_1}$ および $\frac{G_0 S_0}{G_0 S_1}$ の値が既知なれば、(4), (5), (6)の3式より噴流出口の高さ $D/2B_0$ と剝離領域の長さ Z_B/D の関係を求められる。

b. 噴流流れの変向条件

噴流は周囲の流体と連行しながら通過していく。この連行流量を補給するため噴流流れと境界面の間に逆流を生じる。噴流中で $U/U_{max} = \text{Const}$ なる点とを考え、流速分布 $K(1)$ 式を用いると連行流量 Q_R は

$$\frac{Q_R}{Q_0} = \sqrt{\frac{3}{G_0}} \left(\frac{S+S_0}{2B_0} \right)^{\frac{1}{2}} \tanh \left(\cosh^{-1} \sqrt{\frac{U_{max}}{U}} \right) - 1.0 \quad (7)$$

で与えられる。図-1 K に示すように逆流中 $h = (H+D) - (H+B_0) \cos \theta$ の間でこの流量が一様な流速分布で逆流していけるものとするとき、この逆流により生ずる圧力低下は Energy 損失を無視してしまうと

$$\Delta \left(\frac{P}{\rho} \right) = (H+D) - \left(\frac{P}{\rho} + z \right)_s = \left(\alpha \frac{U^2}{2g} \right)_s, \quad U_R = \frac{Q_R}{h} \quad (8)$$

となる。この圧力低下量が最大となる点を(8)式で微分して求めると次の関係が導かれること。

$$\frac{1}{2} \sqrt{\frac{3}{G_0}} \tanh \left(\cosh^{-1} \sqrt{\frac{U_{max}}{U}} \right) \left(\frac{S+S_0}{2B_0} \right)^{\frac{1}{2}} \left(\frac{r}{2B_0} \right) \left\{ \frac{H+r}{2B_0} - \frac{r+B_0}{2B_0} \cos \theta \right\} = \left\{ \sqrt{\frac{3}{G_0}} \tanh \left(\cosh^{-1} \sqrt{\frac{U_{max}}{U}} \right) \left(\frac{S+S_0}{2B_0} \right)^{\frac{1}{2}} - 1 \right\} \left\{ \frac{r}{2B_0} + \cosh^{-1} \sqrt{\frac{U_{max}}{U}} \frac{S+S_0}{2B_0} \right\} \sin \theta \quad (9)$$

(9)式を満足する位置において、(8)の圧力低下量と剝離領域内の圧力低下量 $\rho g \Delta \left(\frac{P}{\rho} \right) = \frac{M}{R}$ とが等しくなると噴流流れの流れ方向の変向が起るものとすると、この条件は次式のように満たされる。

$$\frac{H}{2B_0} = \frac{\rho g}{2\sqrt{2}} \left(\frac{r}{2B_0} \right)^{\frac{1}{2}} \left\{ \sqrt{\frac{3}{G_0}} \tanh \left(\cosh^{-1} \sqrt{\frac{U_{max}}{U}} \right) + \frac{V+B_0}{2B_0} \cos \theta - \frac{r}{2B_0} \right\} \quad (10)$$

ここで β は運動量の補正係数で次式で与えられる。

$$\beta = \frac{M}{M_0} = \frac{3}{4} \left[\left\{ \tanh \left(\cosh^{-1} \sqrt{\frac{U_{max}}{U}} \right) + \sqrt{\frac{G_0}{3}} \left(\frac{S+S_0}{2B_0} \right)^{\frac{1}{2}} \right\} - \frac{1}{3} \left\{ \tanh^3 \left(\cosh^{-1} \sqrt{\frac{U_{max}}{U}} \right) + \left(\frac{G_0}{3} \right)^{\frac{3}{2}} \left(\frac{S+S_0}{2B_0} \right)^{\frac{3}{2}} \right\} \right] \quad (11)$$

2 実験結果との比較

Curved jet の流速分布の測定結果を示すものが図-3, 4, 5 である。図中の計算結果は全て Spread parameter $G_0 = 6.00$ と置いて(11)式の流速分布を用いて計算したものである。いずれの場合も計算結果と実測結果との一致は良好であつて、Spread parameter G_0 は 6.00 なる一定値とみなすことが出来ただらう。

流れが Reattached Flow の場合には水槽底に 1^m 間隔で接着した長さ 2^m の木綿糸の下を通過するに伴い、また Separated Flow の状態においては水表面に色素を注射針により滴下してその流れ方向によって測定した剝離領域の長さ Z_B/D の値を噴出穴中心より境

図-3 流速分布

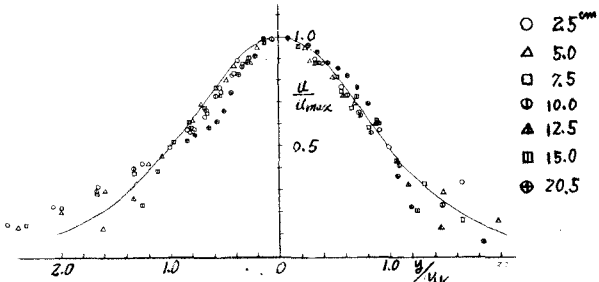
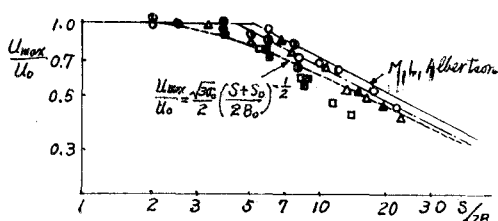
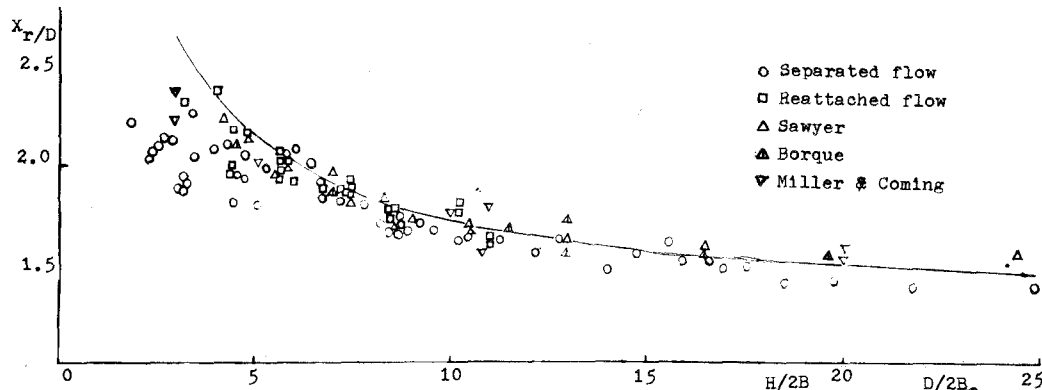


図-4 噴流中心流速



界面の高さ $D/2B_0$ or $H/2B_0$ に対して図示したものが図-6である。図中の計算曲線は(4)式中の $(S_1 + S_2)/2S_1$ および $(S_1 + S_2)/2S_2$ の両者とも 1.00 と置き、(4), (5), (6)の3式を同時に満足する $D/2B_0$ と $H/2B_0$ の関係を求めて図示したものである。この計算の途中において求められた Curved jet の曲率の値と実測値が

図-6



求めた値との比較を行なつたものが図-7である。いずれも実験値との一致は良好であるが、 $D/2B_0$ が小さいところでは(4)の計算値と実測値とか離れるのは噴流の potential Core の存在によるものと思われる。

水槽内水位を除々に変化させて噴流流れの方向の変化したときの噴流出口の高

図-5

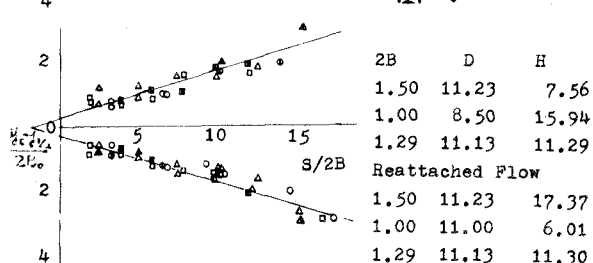


図-7

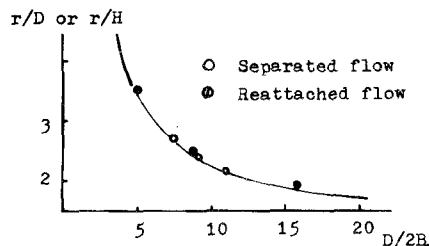
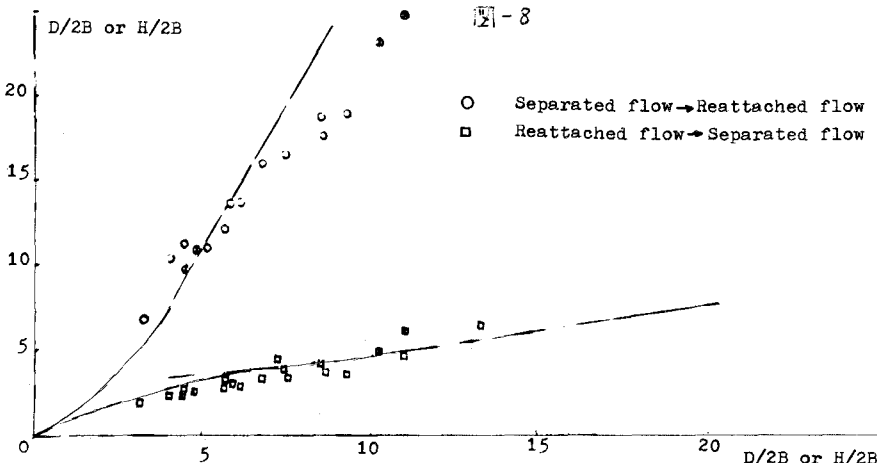


図-8



$\pm \frac{1}{2}B_0$ と深さ $\frac{1}{2}B_0$ の関係を図示したもののが図-8である。図中の曲線は(10)式より求められた θ を用いて(11)式の限界条件を計算した結果である。Reattached flow より Separated flow への移行限界において、 $\frac{1}{2}B_0$ が 5~6 倍より大きいところでは計算値と実測値との一致が良くなれば、噴流流れの potential core の存在によるものと考えられる。(計算結果において、この範囲では逆流流れによる最低圧力の生じる奥の未だ噴流の potential core が存在することが認められた) また Separated flow より Reattached flow への流れの移行限界の計算値と実測値との合致があまり良好でないのは、 $\frac{1}{2}B_0$ が小さいところでは上述のごとく potential core の存在によるものと考えられ、 $\frac{1}{2}B_0$ が大きい場合には、実験技術上水槽水位を除々に低下していくわけであるが、剥離領域内の水位を同時に変えることは困難であつて、剥離領域内の水が噴流流れを横断して流出していくなければならぬので、この擾乱によつて生じる圧力変動によるものではないかと思われる。なほこの際に、噴流出口の深さが大きくなるほど図-7より判るように噴流流れの曲率は大きく、その結果剥離領域内の圧力低下は小さいので、上述の圧力変動の影響が相対的に大きくなり、 $\frac{1}{2}B_0$ が大きくなるほど計算値と実測値の不一致の量が大きくなつて行くものと推定される。

4 結語

以上の実験結果および理論的考察によつて次の事が明らかとなつた。

- i Curved jet を理論的に考察する際に、従来 Spread parameter と Floating parameter として取扱つてゐる流速分布の測定結果より Curved jet の Spread parameter は自由噴流のそれと較べて若干小となり 6.00 の一定値であることが認められた。
- ii i の結果と若干の仮定の修正を行つて Dodd の流れの model を用いて剥離領域の規模についての理論的結果は実測値と竟り一致をみた。
- iii 固体界面と自由水面とのように全く性質の異なる境界面が、噴流流れの流れ方向の変向に与える影響にはほとんど差異が認められる、かつ 2 つの境界の影響を受ける場合に、噴流がりずれ方向へ偏向するか決定出来ない範囲の存在することが認められた。

以上の結果より水内などの下流部に生じる局所洗浄において下流の水位を調節することによつて、洗浄がより効率的に行なうと噴出する流れを噴き上げの状態(Separated flow)へ變えてかなり有效的な洗浄を輕減することが可能であることが出来るものと思われる。

参考文献

- 1) R.A.Sawyer; The flow due to a two-dimensional jet issuing parallel to a flat plate, Journal of Fluid Mechanics, Vol 9, 1960.
- 2) C.Bourque & B.G.Newman; Reattachment of a two-dimensional incompressible jet to an adjacent flat plate, Aero Quart., 1960
- 3) M.L.Albertson, Y.B.Das, R.A.Jenson & H.Rouse; Diffusion of submerged jet, Trans. A.S.C.E. Vol 115, 1948.
- 4) 石原藤次郎, 志方俊之; 開水路急拡部の水理学的性状に関する研究, 土木学会論文集, No.120号 1966
- 5) 岩垣雄一, 土屋義人; 今村正考; 水平噴流の特性と及ぼす境界の影響, 土木学会第16回年次学術講演概要 1961